

Ecole d'Automne Informatique Scientifique : Systèmes Linéaires III

ANGD Informatique Scientifique pour le Calcul

Pascal HÉNON

Octobre 2008

Plan

- 1 Introduction aux méthodes de Krylov préconditionnées
- 2 Factorisations incomplètes
- 3 Utilisation du complément de Schur

Plan

- 1 Introduction aux méthodes de Krylov préconditionnées
- 2 Factorisations incomplètes
- 3 Utilisation du complément de Schur

Introduction aux méthodes de Krylov préconditionnées

Méthode de Krylov :

On cherche une approximation de la solution de $A.x = b$ dans un sous-espace “de Krylov” :

$$K(m, b) = \text{span}\{b, A.b, \dots, A^{m-1}.b\}$$

$$x_m = \alpha_1.b + \alpha_2.A.b + \dots + \alpha_{m-1}.A^{m-1}.b$$

telle que $b - A.x_m \perp (L)_m$ (condition de Petrov-Galerkin).

Ceci revient à dire que l'on cherche un polynôme \mathcal{P} tel que :

$$A^{-1}.b \approx \mathcal{P}(A).b$$

Introduction aux méthodes de Krylov préconditionnées

Il existe beaucoup de méthode itérative de Krylov. Les variations résident généralement dans :

- le choix de \mathcal{L}_m ,
- le calcul d'une base pour $K(m, b)$,
- *restart* ...

exemple : GMRES ($\mathcal{L}_m = A.K_m$), Gradient Conjugué ($\mathcal{L}_m = K_m$), BICG ($\mathcal{L}_m = K_{A^t}(b, m)$), ...

Référence

Iterative Methods for Sparse Linear Systems. Yousef Saad

Introduction aux méthodes de Krylov préconditionnées

Méthodes de Krylov :

Trouver itérativement une solution approximée (ex : dans Krylov, l'espace de recherche est augmenté à chaque itération)

La convergence dépend du nombre de conditionnement :

$$\|A\|_p \|A^{-1}\|_p$$

Méthode de préconditionnement : On transforme le système à l'aide d'un opérateur linéaire M tel que le nouveau système ait un meilleur conditionnement.

Plusieurs variantes sont possibles :

- précond. à gauche : $M^{-1}.A.x = M^{-1}.b$;
- précond. à droite : $A.M^{-1}u = b$, $x = M^{-1}.u$;
- précond. découpé (cas sym.) : $M^{-1}.A.M^{-t}.u = M^{-1}.b$,
 $x = M^{-1}.u$;

Introduction aux méthodes de Krylov préconditionnées

- En règle générale, on ne stocke pas $M^{-1}.A$ sous forme matricielle on utilise $(M^{-1}.A).x = M^{-1}.(A.x)$. Pour que ce soit rentable il faut que $M^{-1}.y$ soit peu coûteux à calculer.
- Usuellement, on cherche M proche de A (i.e. $M^{-1} \approx A^{-1}$).
- M n'est pas nécessairement une matrice ; par exemple $M^{-1}.y$ peut être obtenu par un autre processus itératif.
- Si M varie à chaque itération, on utilise alors une méthode dite "flexible".
- On va s'intéresser au préconditionneur utilisant une technique de **factorisation incomplète**. $M^{-1} : \simeq A^{-1} \approx U^{-1}.L^{-1}$.

Plan

- 1 Introduction aux méthodes de Krylov préconditionnées
- 2 Factorisations incomplètes
- 3 Utilisation du complément de Schur

- Factorisation directe : $A = L.U$
- Factorisation incomplète : $A = L.U + R$

On peut choisir d'imposer des contraintes sur R (remplissage, norme). Cadre théorique réduit : existence factorisation incomplète ? (preuve pour les M-matrices).

Principe générale d'une factorisation incomplète

On distingue généralement 2 grandes familles :

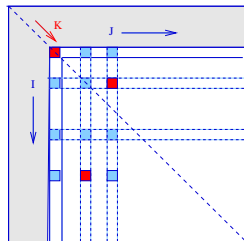
- les factorisations dont le remplissage est déterminé à l'avance (de manière **statique**) ; ces méthodes consistent à déterminer un schéma de remplissage à partir du graphe d'adjacence $G(V, E)$ de la matrice creuse A .
- les factorisations dont le remplissage est déterminé au cours de la factorisation (de manière **dynamique**) ; ces méthodes consistent à ne garder au cours de la factorisation que les termes vérifiant un certain critère numérique (généralement une norme suffisamment élevée).

Factorisation ILU avec remplissage prédéfini

```

1 pour  $(i, j) \in \mathcal{P}$  faire  $a_{ij} := 0$ 
2 pour  $k = 1$  à  $n - 1$  faire
3   |   pour  $i = k + 1$  à  $n$  tq  $(i, k) \notin \mathcal{P}$  faire
4     |    $a_{ik} := a_{ik} / a_{kk}$ 
5     |   pour  $j = k + 1$  à  $n$  tq  $(i, j) \notin \mathcal{P}$  faire
6       |    $a_{ij} := a_{ij} - a_{ik} * a_{kj}$ 
7     |   fin
8   |   fin
9 fin

```



Factorisation ILU avec remplissage prédéfini

- Généralement, on construit \mathcal{P} en se basant uniquement sur le graphe d'adjacence $G(V, E)$ de A (valeurs numériques pas prises en compte) ;
- Exemple le plus classique : ILU(0), IC(0),
pour $i > j$ $A_{i,j} = 0 \Rightarrow L_{ij} = 0$ (idem pour U).

Caractérisation du remplissage dans les méthodes directes

Théorème

Un terme nul a_{ij} de A deviendra non nul dans la factorisation $A = L.U$ ssi il existe un chemin allant du sommet i au sommet j en ne passant que par des sommets de plus petit numéro que i et j dans le graphe $G(V, E)$ d'adjacence de A .

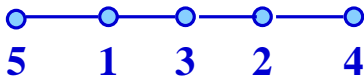
Caractérisation du remplissage en ILU(k)

Théorème

*Un terme nul a_{ij} de A deviendra non nul dans la factorisation ILU(k) de A ssi il existe un **plus court chemin de longueur $k + 1$** allant du sommet i au sommet j en ne passant que par des sommets de plus petit numéro que i et j dans le graphe $G(V, E)$ d'adjacence de A .*

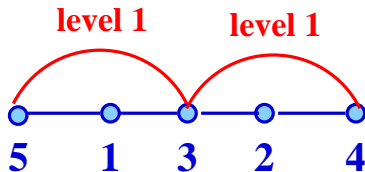
Factorisation ILU(k)

$$\begin{array}{c}
 \\
 \\
 1 \\
 2 \\
 3 \\
 4 \\
 5
 \end{array}
 \begin{bmatrix}
 \times & & \times & & \times \\
 & \times & \times & \times & \\
 \times & \times & \times & & \\
 & \times & & \times & \\
 \times & & & & \times
 \end{bmatrix}$$



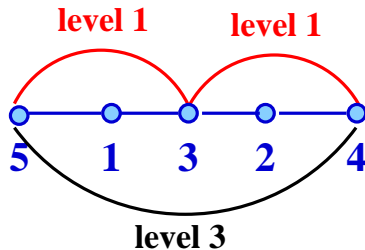
Factorisation ILU(k)

	1	2	3	4	5
1	×		×		×
2		×	×	×	
3	×	×	×	●	●
4		×	●	×	
5	×		●		×



Factorisation ILU(k)

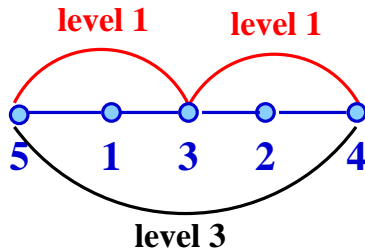
	1	2	3	4	5
1	×		×		×
2		×	×	×	
3	×	×	×	●	●
4		×	●	×	■
5	×		●	■	×



Factorisation ILU(k)

Au cours du processus d'élimination, le niveau de remplissage d'un coefficient a_{ij} est défini par : Initialisation : $\text{lev}(a_{ij}) = 0$ si $a_{ij} \neq 0$; sinon $\text{lev}(a_{ij}) = \text{inf}$

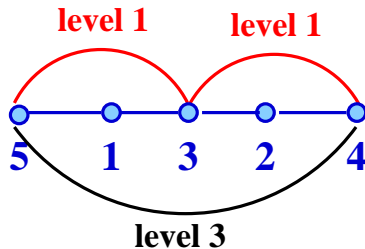
	1	2	3	4	5
1	×		×		×
2		×	×	×	
3	×	×	×	●	●
4		×	●	×	■
5	×		●	■	×



Factorisation ILU(k)

Au cours du processus d'élimination, le niveau de remplissage d'un coefficient a_{ij} est défini par : $\text{lev}(a_{ij}) = \min(\text{lev}(a_{ij}), \text{lev}(a_{ik}) + \text{lev}(a_{kj}) + 1)$;

	1	2	3	4	5
1	×		×		×
2		×	×	×	
3	×	×	×	●	●
4		×	●	×	■
5	×		●	■	×



Factorisation ILU(k)

```

1 Initialisation
2 pour tous les termes de  $A$  faire
3   si  $a_{ij} \neq 0$  alors  $\text{lev}(a_{ij}) := 0$ 
4   si  $a_{ij} = 0$  alors  $\text{lev}(a_{ij}) := \infty$ 
5 pour  $k = 1$  à  $n - 1$  faire
6   pour  $i = k + 1$  à  $n$  faire
7     si  $\text{lev}(a_{ik}) \leq p$  alors
8        $a_{ik} = a_{ik} / a_{kk}$ 
9       pour  $j = k + 1$  à  $n$  faire
10         $\text{lev}(a_{ij}) = \min(\text{lev}(a_{ij}), \text{lev}(a_{ik}) + \text{lev}(a_{kj}) + 1)$ 
11        si  $\text{lev}(a_{ij}) \leq p$  alors
12           $a_{ij} := a_{ij} - a_{ik} * a_{kj}$ 

```

Factorisation symbolique ILU(k) (classique)

```

1 Initialisation
2 pour tous les termes de  $A$  faire
3   | si  $a_{ij} \neq 0$  alors  $\text{lev}(a_{ij}) := 0$ 
4   | si  $a_{ij} = 0$  alors  $\text{lev}(a_{ij}) := \infty$ 
5 pour  $k = 1$  à  $n - 1$  faire
6   | pour  $i = k + 1$  à  $n$  faire
7     | si  $\text{lev}(a_{ik}) \leq p$  alors
8       | pour  $j = k + 1$  à  $n$  faire
9         |  $\text{lev}(a_{ij}) = \min(\text{lev}(a_{ij}), \text{lev}(a_{ik}) + \text{lev}(a_{kj}) + 1)$ 
10        | si  $\text{lev}(a_{ij}) \leq p$  alors
11          | on ajoute  $(i, j)$  dans la structure des nz de  $L, U$ 

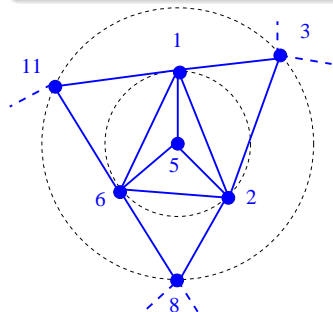
```

Factorisation symbolique ILU(k) (D. Hysom, A. Pothen, 2002)

Facto. symbolique à partir du graphe d'adj. de A

On peut aussi effectuer la factorisation symbolique en recherche tout les chemins d'élimination de longueurs $k + 1$.

D. Hysom and A. Pothen. "A scalable parallel algorithm for incomplete factor preconditioning" SIAM SISC, 22(6) :2194–2215, 2001.

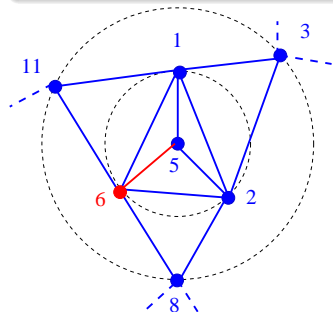


Factorisation symbolique ILU(k) (D. Hysom, A. Pothen, 2002)

Facto. symbolique à partir du graphe d'adj. de A

On peut aussi effectuer la factorisation symbolique en recherche tout les chemins d'élimination de longueurs $k + 1$.

D. Hysom and A. Pothen. "A scalable parallel algorithm for incomplete factor preconditioning" SIAM SISC, 22(6) :2194–2215, 2001.

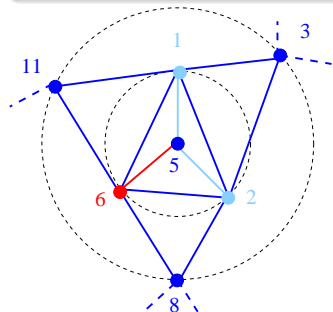


Factorisation symbolique ILU(k) (D. Hysom, A. Pothen, 2002)

Facto. symbolique à partir du graphe d'adj. de A

On peut aussi effectuer la factorisation symbolique en recherche tout les chemins d'élimination de longueurs $k + 1$.

D. Hysom and A. Pothen. "A scalable parallel algorithm for incomplete factor preconditioning" SIAM SISC, 22(6) :2194–2215, 2001.

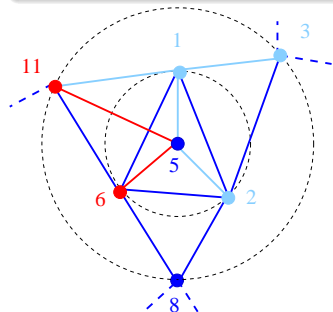


Factorisation symbolique ILU(k) (D. Hysom, A. Pothen, 2002)

Facto. symbolique à partir du graphe d'adj. de A

On peut aussi effectuer la factorisation symbolique en recherche tout les chemins d'élimination de longueurs $k + 1$.

D. Hysom and A. Pothen. "A scalable parallel algorithm for incomplete factor preconditioning" SIAM SISC, 22(6) :2194–2215, 2001.

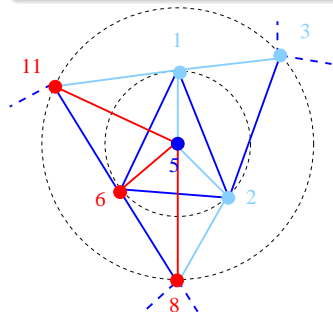


Factorisation symbolique ILU(k) (D. Hysom, A. Pothen, 2002)

Facto. symbolique à partir du graphe d'adj. de A

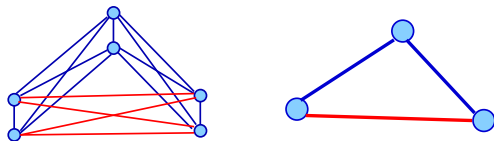
On peut aussi effectuer la factorisation symbolique en recherche tout les chemins d'élimination de longueurs $k + 1$.

D. Hysom and A. Pothen. "A scalable parallel algorithm for incomplete factor preconditioning" SIAM SISC, 22(6) :2194–2215, 2001.



Factorisation symbolique par blocs pour ILU(k)

- La factorisation symbolique par blocs **pour le directe** est basée sur : $Q(G, P) \longrightarrow Q(G, P)^* = Q(G^*, P)$.
- Existe-t-il une partition telle que $Q(G, P) \longrightarrow Q(G, P)^k = Q(G^k, P)$?
- Il en existe au moins 1 type : lorsque le graphe de A peut se quotienter “naturellement”.



Factorisation symbolique par blocs pour ILU(k)

- Ex : dans une discrétisation de type éléments finis, un nœud du maillage représente plusieurs inconnues (ex : degrés de liberté) couplés entre eux ; ainsi chaque nœud du maillage représente une clique dans $G(V, E)$ le graphe d'adj. de A . On prend alors P la partition des nœuds.
- La factorisation symbolique a, dans ce cas, une complexité fonction du nombre de nœuds du maillage et non du nombre d'inconnues (au contraire de la factorisation numérique).

Factorisation ILU(k) par blocs

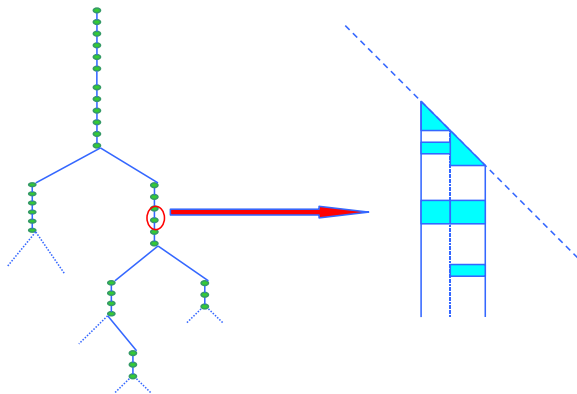
L'utilisation d'une structure bloc-dense dans les facteurs permet l'utilisation des routines BLAS niveau 3 (factorisation) et BLAS niveau 2 (résolution).

Si la taille initiale des blocs n'est pas suffisante on peut utiliser un algorithme **d'amalgamation** (ILU(k) par blocs dans PaStiX).

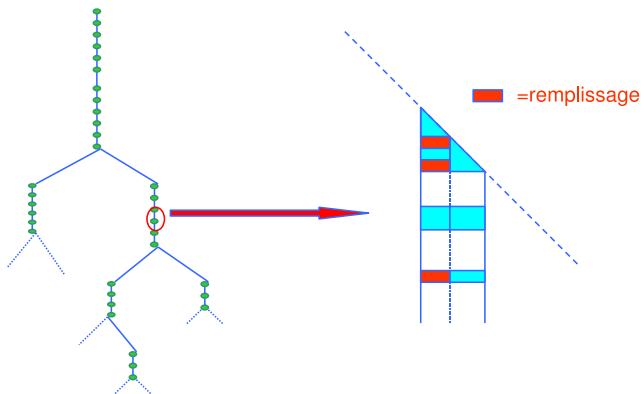
Algorithme d'amalgamation

Le principe est d'autoriser une certaine tolérance de remplissage supplémentaire (éventuellement stocker des zéros) pour augmenter la taille des blocs denses (augmentation des performances des routines BLAS).

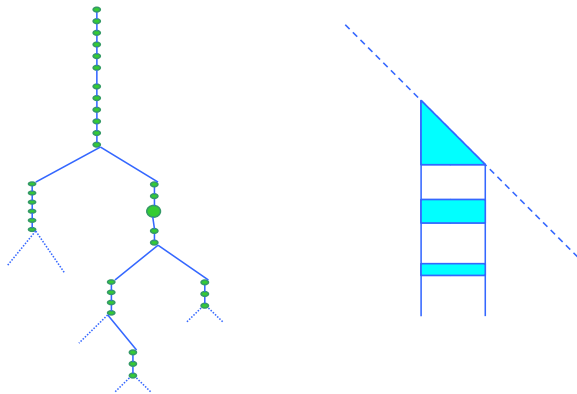
Algorithme d'amalgamation



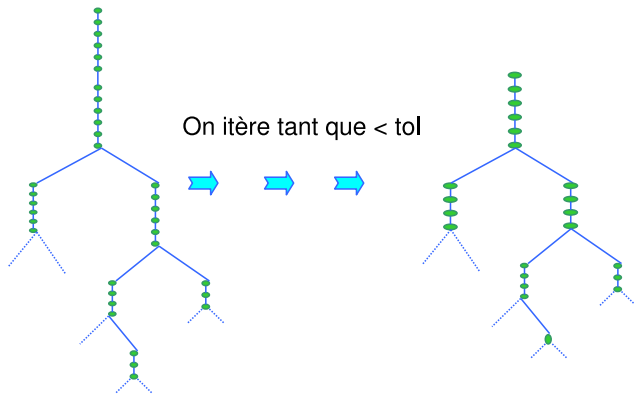
Algorithme d'amalgamation



Algorithme d'amalgamation



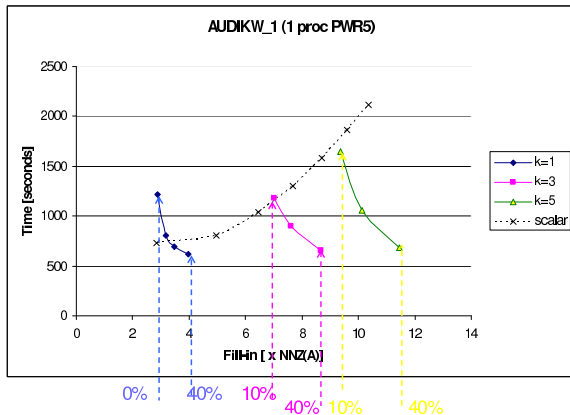
Algorithme d'amalgamation



Conditions d'expérience

- Résultats obtenus sur IBM power5 + switch "Federation" ;
- Résultats en double précision ;
- Méthode de Krylov GMRES ;
- Précision relative 10^{-7}
- AUDI_KW1 (collection PARASOL) : matrice symétrique
 $n = 943,695$, $nnz(A) = 39,297,771$

AUDI_KW1 : PaStiX ILU(k)

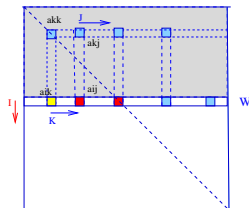


Factorisation ILUT(τ, p)

```

1  pour  $i = 1$  à  $n$  faire
2  |    $w := a_{i*}$ 
3  |   pour  $k = 1$  à  $i - 1$  et si  $w_k \neq 0$  faire
4  |   |    $w_k = w_k / a_{kk}$ 
5  |   |   Appliquer seuillage sur  $w_k$  ( $R_1$ )
6  |   |   si  $w_k \neq 0$  alors
7  |   |   |    $w := w - w_k * u_{k*}$ 
8  |   |   fin
9  |   fin
10 |   Appliquer seuillage sur  $w$  ( $R_2$ )
11 |    $l_{ij} := w_j$  pour  $j = 1, \dots, i - 1$ 
12 |    $u_{ij} := w_j$  pour  $j = i, \dots, n$ 
13 fin

```



- R_1 : w_k est remplacé par 0 si $w_k < \tau \cdot \|a_{i*}\|_2$.
- R_2 : on applique R_1 à tous les éléments de w . On ne garde que les p plus grands.

Factorisation ILUT(τ, ρ)

Quelques remarques :

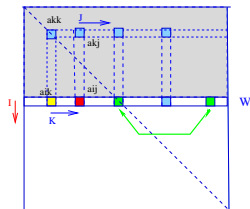
- structure dynamique (allocation par ligne).
- autre algo : version colonne ILUC(τ) (utile en symétrique).
- utiliser un *scaling* $D_r.A.D_c$ est souvent utile.
- utilisation du paramètre ρ “dangereuse” ;
- possibilité de pivotage à moindre coût.

Factorisation ILUTP(τ, ρ)

```

1  pour  $i = 1$  à  $n$  faire
2       $w := a_{i*}$ 
3      pour  $k = 1$  à  $i - 1$  et si  $w_k \neq 0$  faire
4           $w_k = w_k / a_{kk}$ 
5          Appliquer seuillage sur  $w_k$  ( $R_1$ )
6          si  $w_k \neq 0$  alors
7               $w := w - w_k * u_{k*}$ 
8          fin
9      fin
10     Appliquer seuillage sur  $w$  ( $R_2$ )
11     Echanger  $w_i$  avec  $w_{max} = \max_{k>i}(w_k)$ 
12      $l_{ij} := w_j$  pour  $j = 1, \dots, i - 1$ 
13      $u_{ij} := w_j$  pour  $j = i, \dots, n$ 
14 fin

```



- R_1 : w_k est remplacé par 0 si $w_k < \tau \cdot \|a_{i*}\|_2$.
- R_2 : on applique R_1 à tous les éléments de w . On ne garde

Renumérotation des inconnues

La renumérotation des inconnues influence grandement les résultats de convergence :

- Pour ILU(0), parfois mieux de rien faire !
- Reverse Cuthill-McKee (RCM) pour remplissage “moyen” (petit k dans ILU(k) ou grand τ petit p dans ILU(τ, p))
- Dissection emboîtée (+ Minimum degré) pour remplissage plus important (comme en direct).

voir Benzi, Szyld, Duin, “Orderings for incomplete factorization preconditioning of nonsymmetric problems”, SIAM SISC, 17(1996), pp1135-1149.

Remarques sur les factorisations ILU

- Factorisation symbolique réutilisable en $ILU(k)$.
- Robustesse depend du remplissage admis.
- Parallélisation “brute” difficile (sauf $ILU(0)$) :
 - ▶ on les utilise souvent en tant que préconditionneurs locaux dans des méthodes de type DD (e.g. méthodes type Schwarz).
 - ▶ on ajoute des contraintes de remplissages supplémentaires pour faciliter le parallélisme.

Plan

- 1 Introduction aux méthodes de Krylov préconditionnées
- 2 Factorisations incomplètes
- 3 Utilisation du complément de Schur

Plan

- 1 Introduction aux méthodes de Krylov préconditionnées
- 2 Factorisations incomplètes
- 3 Utilisation du complément de Schur

Le complément de Schur

En distinguant les inconnues du système en deux groupes d'inconnues B et C. Le système linéaire $A.x = y$ peut s'écrire :

$$\begin{pmatrix} A_B & A_{BC} \\ A_{CB} & A_C \end{pmatrix} \cdot \begin{pmatrix} x_B \\ x_C \end{pmatrix} = \begin{pmatrix} y_B \\ y_C \end{pmatrix} \quad (1)$$

$A.x = y$ ainsi décomposé peut se résoudre en 3 étapes :

$$\begin{cases} A_B \cdot z_B = y_B \\ S \cdot x_C = y_C - A_{CB} \cdot z_B \\ A_B \cdot x_B = y_B - A_{BC} \cdot x_C \end{cases} \quad (2)$$

$$\text{avec } S = A_C - A_{CB} \cdot \mathbf{A}_B^{-1} \cdot A_{BC} = A_C - A_{CB} \cdot \mathbf{U}_B^{-1} \cdot \mathbf{L}_B^{-1} \cdot A_{BC}$$

Le complément de Schur

Remarque : La factorisation LU de A peut s'écrire sous la forme :

$$A \approx \begin{pmatrix} L_B & \\ A_{CB}U_B^{-1} & L_S \end{pmatrix} \times \begin{pmatrix} U_B & L_B^{-1}A_{BC} \\ & U_S \end{pmatrix} \quad (2)$$

avec $S = A_C - A_{CB} \cdot \mathbf{A}_B^{-1} \cdot A_{BC} = A_C - A_{CB} \cdot \mathbf{U}_B^{-1} \cdot \mathbf{L}_B^{-1} \cdot A_{BC}$

Exemple d'utilisation : ILU multi-niveaux

On peut construire récursivement une suite de système à résoudre :

$$\begin{cases} A_B^{(k)} \cdot z_B = y_B^{(k)} \\ S^{(k)} \cdot x_C = y_C^{(k)} - A_{CB}^{(k)} \cdot z_B \\ A_B^{(k)} \cdot x_B = y_B^{(k)} - A_{BC}^{(k)} \cdot x_C \end{cases}$$

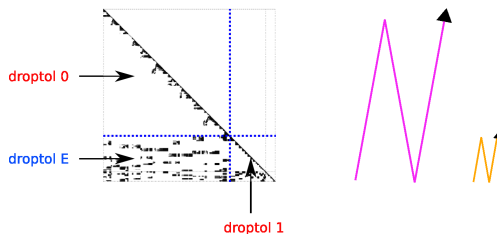
$$\begin{cases} A^{(k+1)} = S^{(k)} \\ y^{(k+1)} = y_C^{(k)} - A_{CB}^{(k)} \cdot z_B \end{cases}$$

Les niveaux peuvent être construit avec différents critères :

- numérique (ARMS,...)
- composant du graphe (interface : HIPS).

Exemple d'utilisation : ILU multi-niveaux

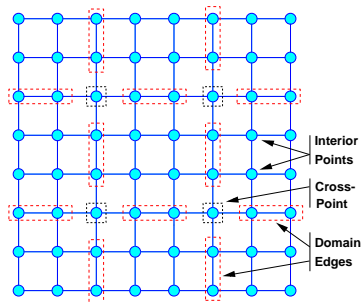
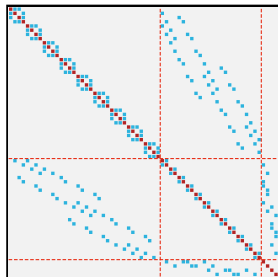
On peut construire récursivement une suite de système à résoudre :



Les niveaux peuvent être construit avec différents critères :

- numérique (ARMS,...)
- composant du graphe (interface : HIPS).

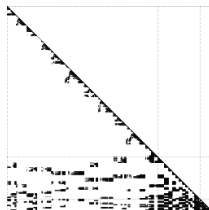
Exemple d'utilisation : ILU multi-niveaux, HIPS

Grille 2D 8×8 .*La matrice permutée.*

Exemple d'utilisation : méthode hybride direct/itérative

- ▶ Exemple de remplissage (bcsstk14)

$$\begin{pmatrix} L_B & \\ A_{CB}U_B^{-1} & S \end{pmatrix}$$



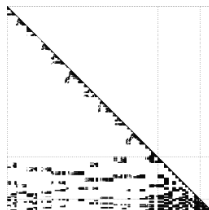
$$\begin{cases} A_B \cdot z_B = y_B \\ S \cdot x_C = y_C - A_{CB} \cdot z_B \\ A_B \cdot x_B = y_B - A_{BC} \cdot x_C \end{cases} \quad (2)$$

$$\text{avec } S = A_C - A_{CB} \cdot \mathbf{A}_B^{-1} \cdot A_{BC} = A_C - A_{CB} \cdot \mathbf{U}_B^{-1} \cdot \mathbf{L}_B^{-1} \cdot A_{BC}$$

Exemple d'utilisation : HIPS

- ▶ Exemple de remplissage (bcsstk14)

$$\begin{pmatrix} L_B & \\ A_{CB}U_B^{-1} & S \end{pmatrix}$$



- ▶ Eviter de stocker $A_{CB}U_B^{-1}$ et S en mémoire (surtout en 3D!) :
 - On n'a pas besoin de la matrice S , pour calculer $S.x$ on utilise : $(A_C - A_{CB}.U_B^{-1}.L_B^{-1}.A_{BC}).x$
 - **ILUT** : $A_{CB}U_B^{-1}$ (resp. $L_B^{-1}A_{BC}$) est "creusé" par un critère de seuillage au cours de son calcul (algorithme ILUC(t) = "regarde à gauche") : $\tilde{L}_S.\tilde{U}_S \approx \tilde{S} = (A_{CB}.\tilde{U}_B^{-1}).(\tilde{L}_B^{-1}.A_{BC}) \approx S$

Test cases

Le remplissage et le nombre d'opérations sont donnés pour une méthode directe.

Matrix	unknowns	non-zeros	fill-in	OPC
MHD1	485,597	24,233,141	52.4	$9.0 \cdot 10^{12}$
AUDI	943,695	39,297,771	41.2	$5.4 \cdot 10^{12}$
Haltere	1,288,825	10,476,775	38.7	$7.5 \cdot 10^{12}$
Amande	6,994,683	58,477,383	53.9	$1.5 \cdot 10^{13}$

Expériences avec HIPS

Conditions expérimentales :

10 nodes of 2.6 Ghz quadri dual-core Opteron (Myrinet)

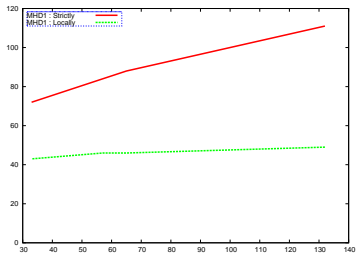
Partitionner : Scotch

$\|b - A.x\|/\|b\| < 10^{-7}$, no restart in GMRES

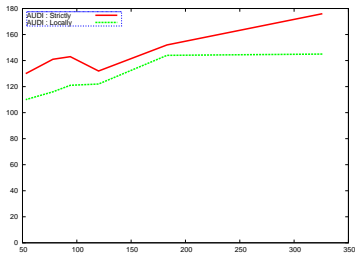
Thresholds : MHD1, Audi, Amande = 0.001, Haltere = 0.01

HIPS : Itérations/nombre de domaines

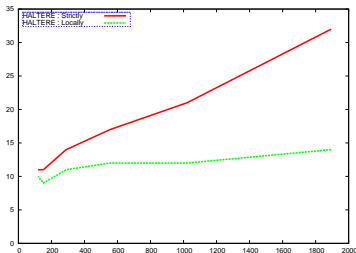
MHD1 (485, 597) : nb domaines from 33 to 132



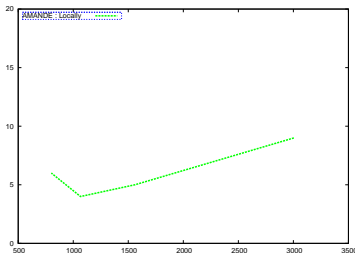
AUDI (943, 695) : nb domaines from 53 to 326



HALTERE (1, 288, 825) : nb domaines from 119 to 1894

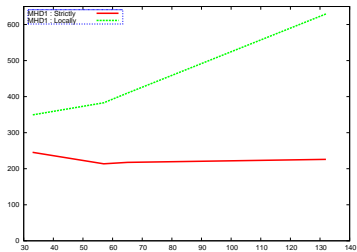


AMANDE (6, 994, 683) : nb domaines from 801 to 3004

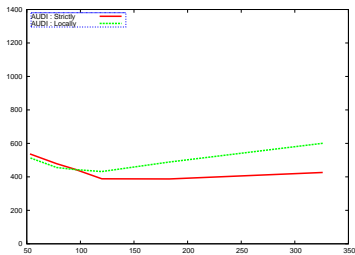


HIPS : Temps (prec+solve seq.)/nombre de domaines

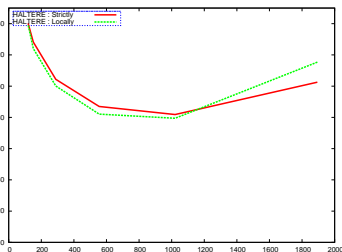
MHD1 (485, 597) : nb domaines from 33 to 132



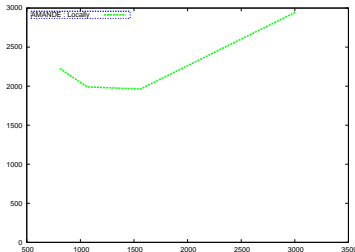
AUDI (943, 695) : nb domaines from 53 to 326



HALTERE (1, 288, 825) : nb domaines from 119 to 1894

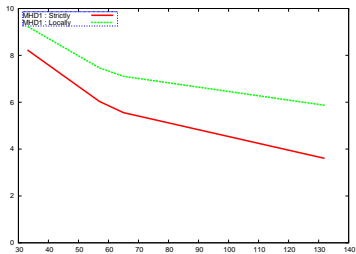


AMANDE (6, 994, 683) : nb domaines from 801 to 3004

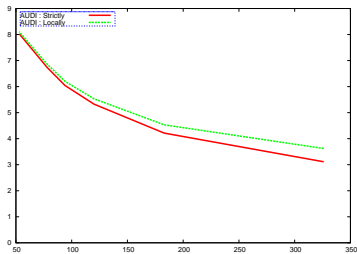


Mémoire / nombre de domaines

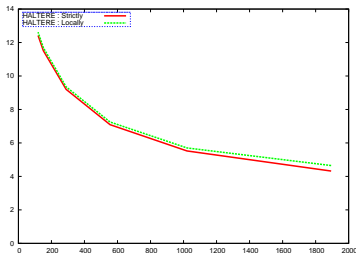
MHD1 (485, 597) : nb domaines from 33 to 132



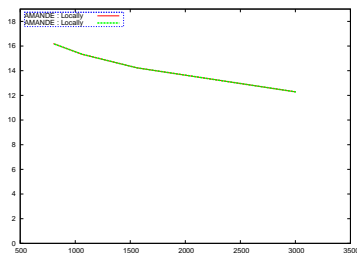
AUDI (943, 695) : nb domaines from 53 to 326



HALTERE (1, 288, 825) : nb domaines from 119 to 1894



AMANDE (6, 994, 683) : nb domaines from 801 to 3004



Logiciels en rapport avec le cours

- ILUPACK : ILU multi-niveaux
<http://www.math.tu-berlin.de/ilupack/>
- HIPS : ILU multi-niveaux, hybride direct/itératif
<http://hips.gforge.inria.fr>
- PARMS : ILU multi-niveaux
<http://www-users.cs.umn.edu/~saad/>
- PaStiX : Direct (MPI/Thread), ILU(k) par blocs
<http://pastix.gforge.inria.fr>
- PETSc : meta-package
<http://www-unix.mcs.anl.gov/petsc/petsc-as/>
- Trilinos : meta-package
<http://trilinos.sandia.gov/>